

Fig. 1

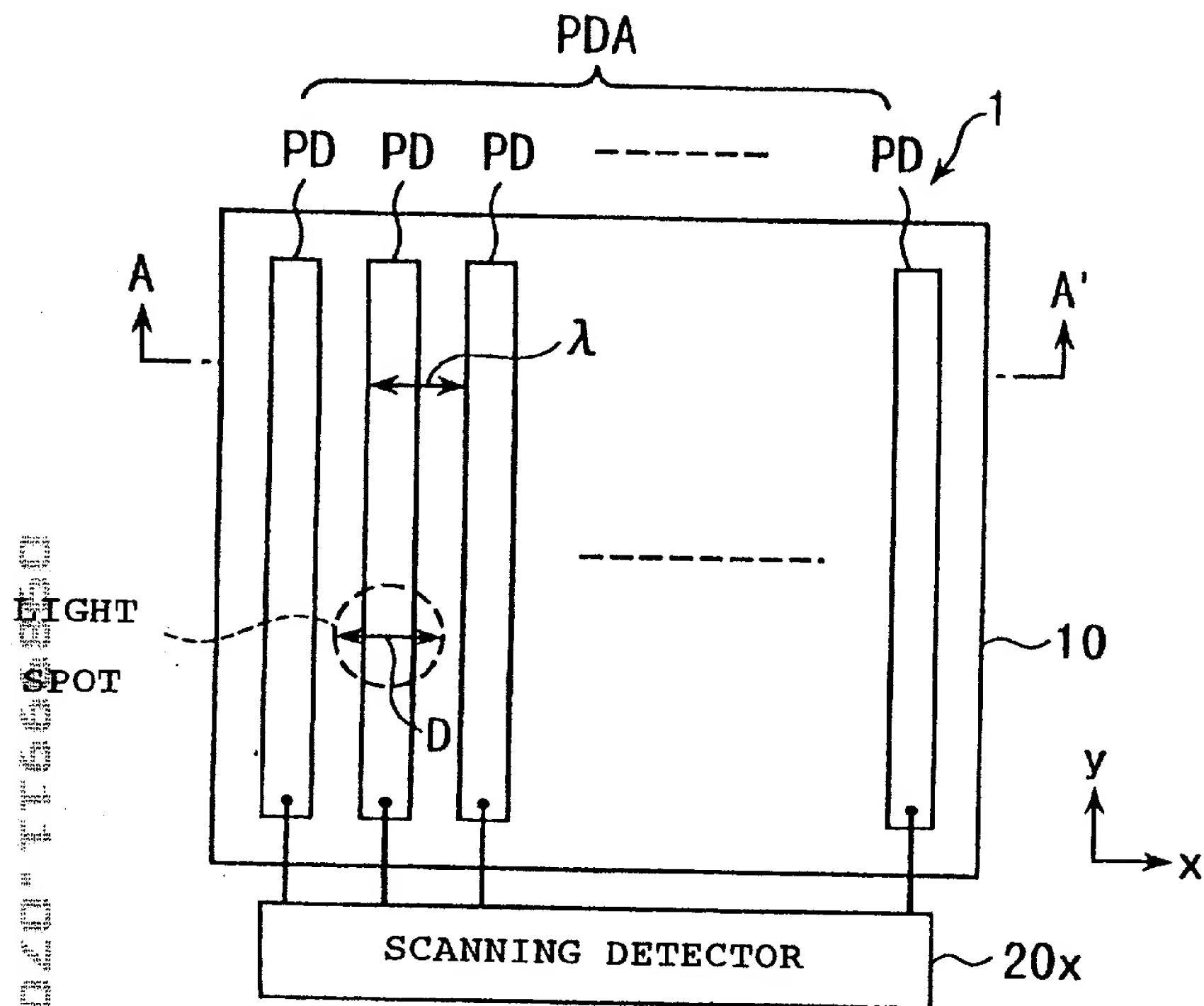


Fig. 2

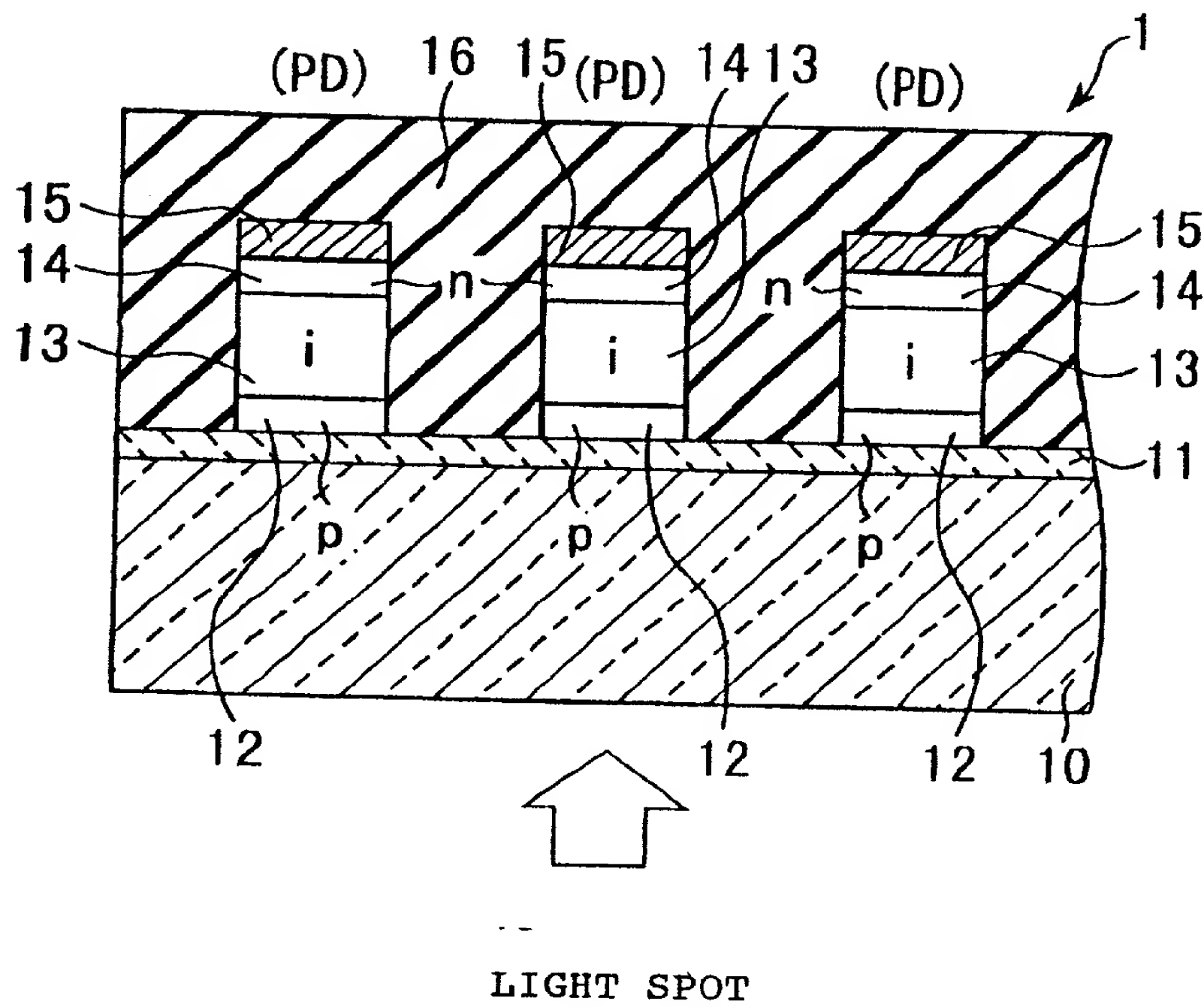


Fig. 3

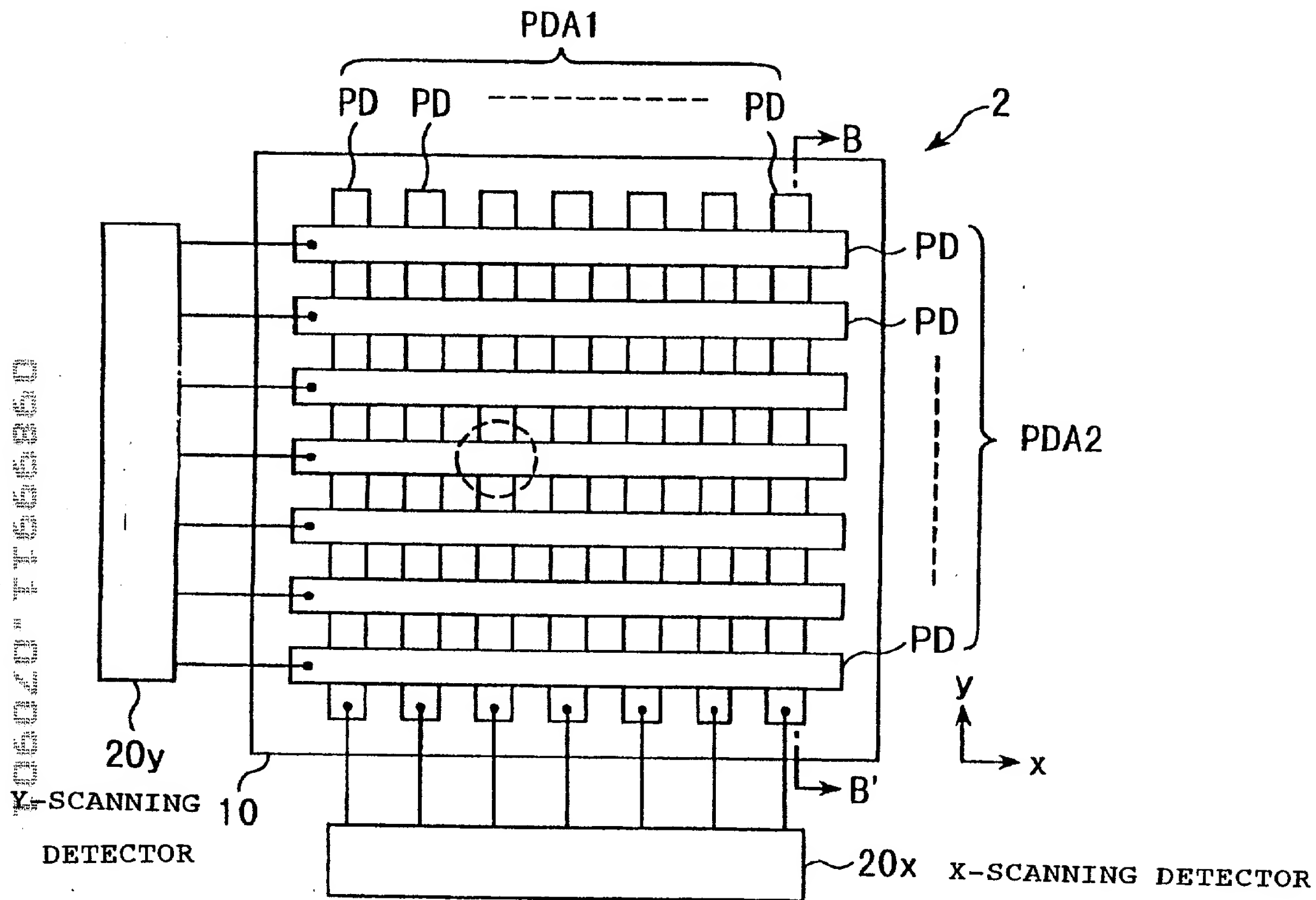


Fig. 4

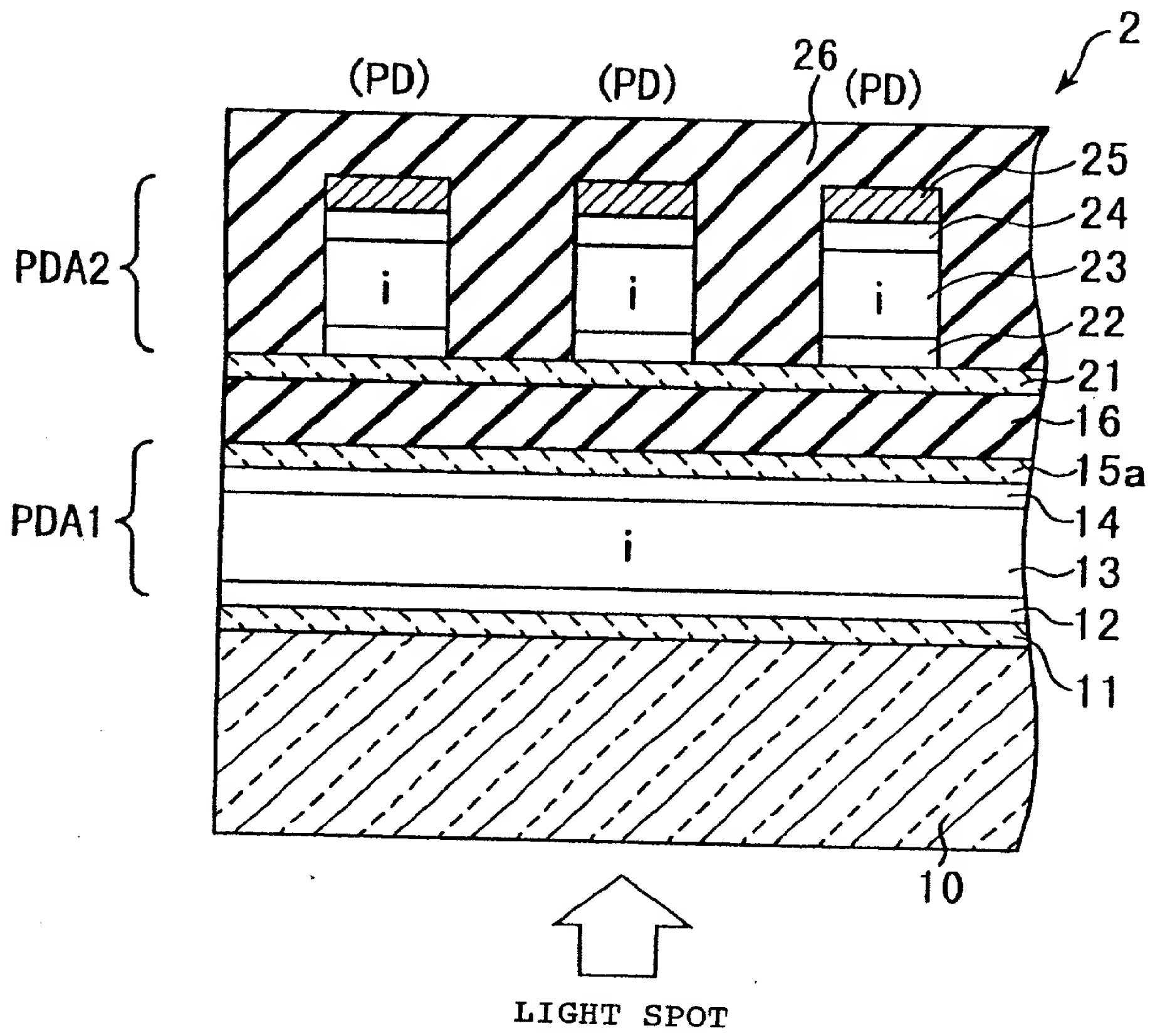


Fig. 5

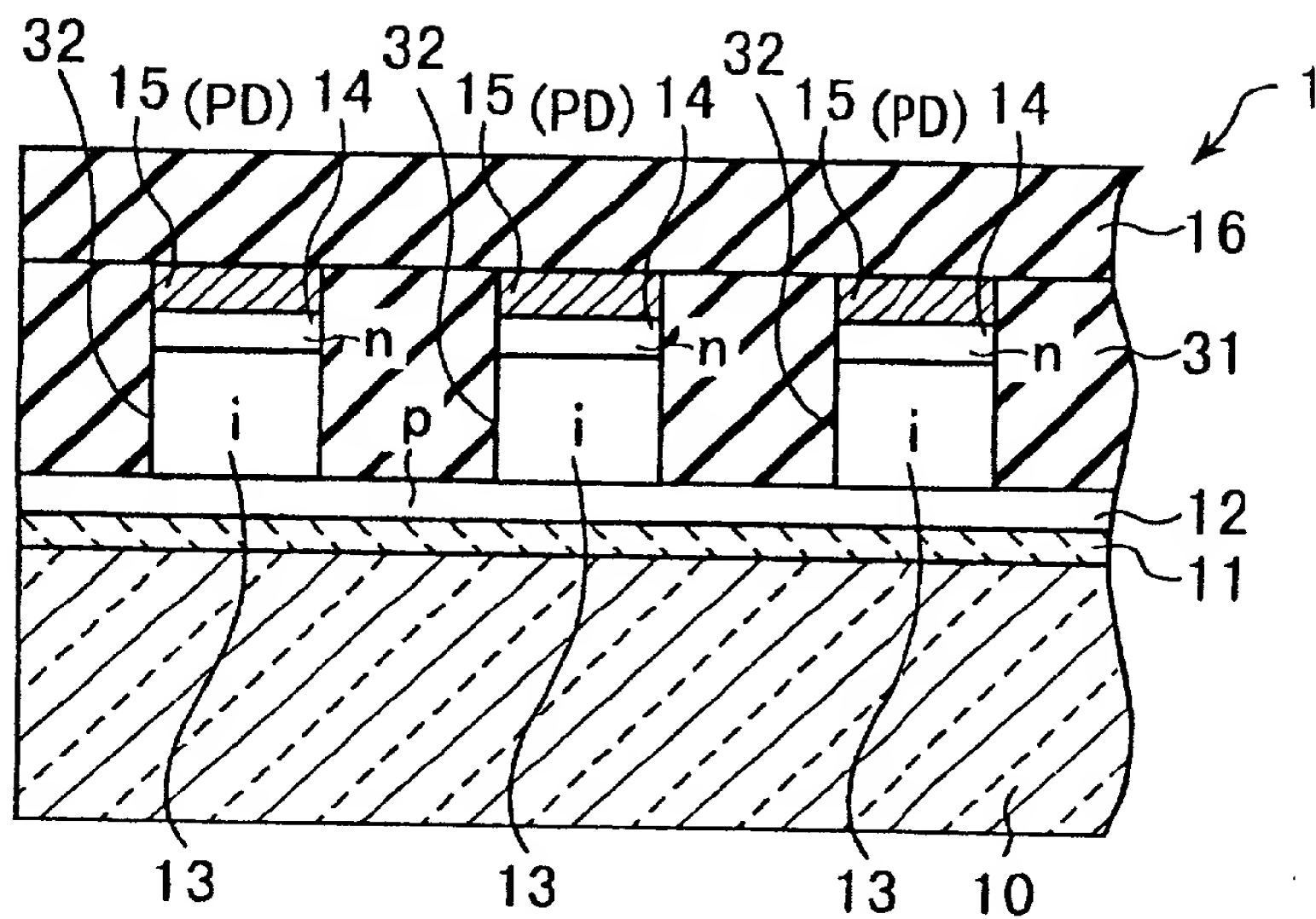


Fig. 6

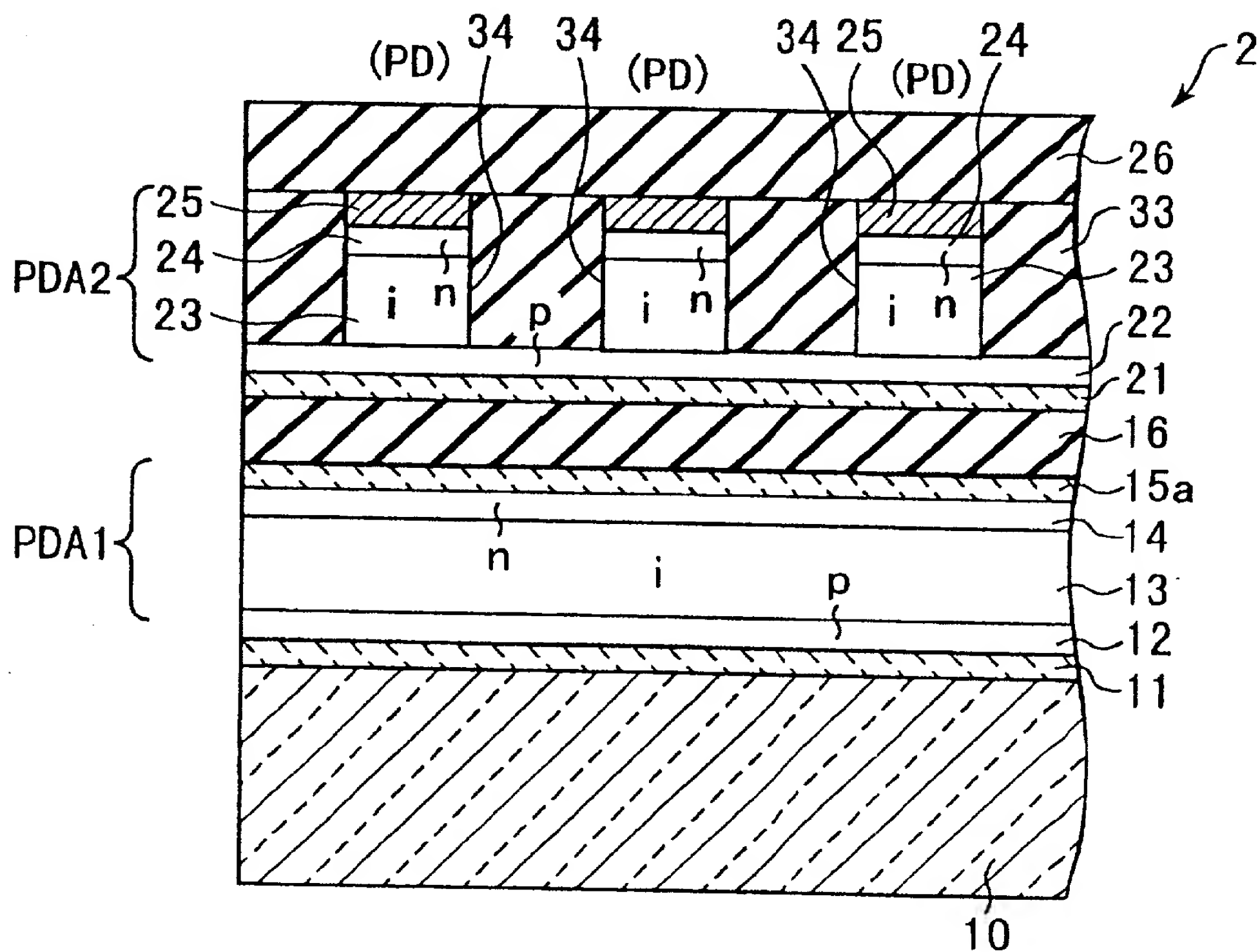


Fig. 7

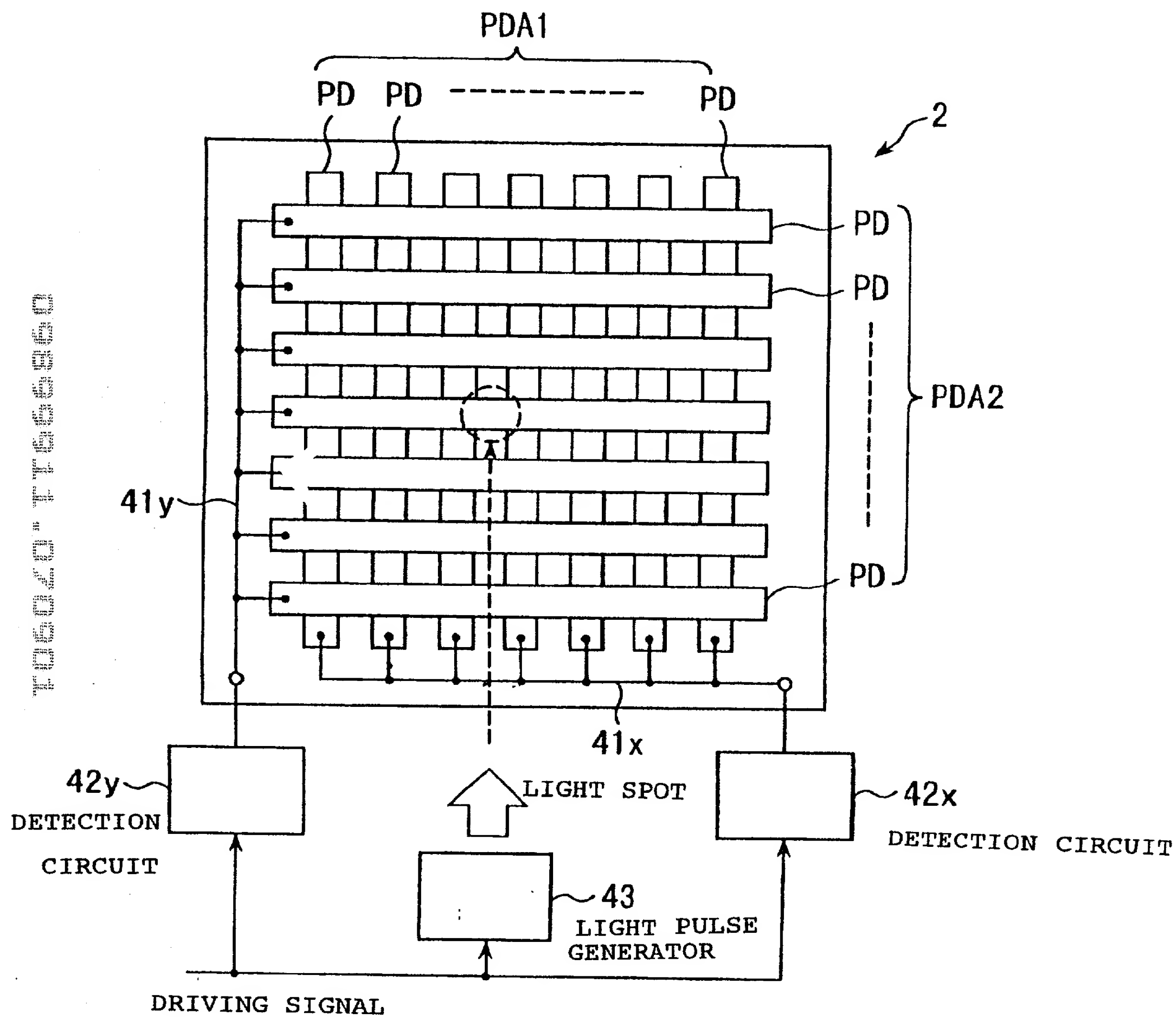


Fig. 8

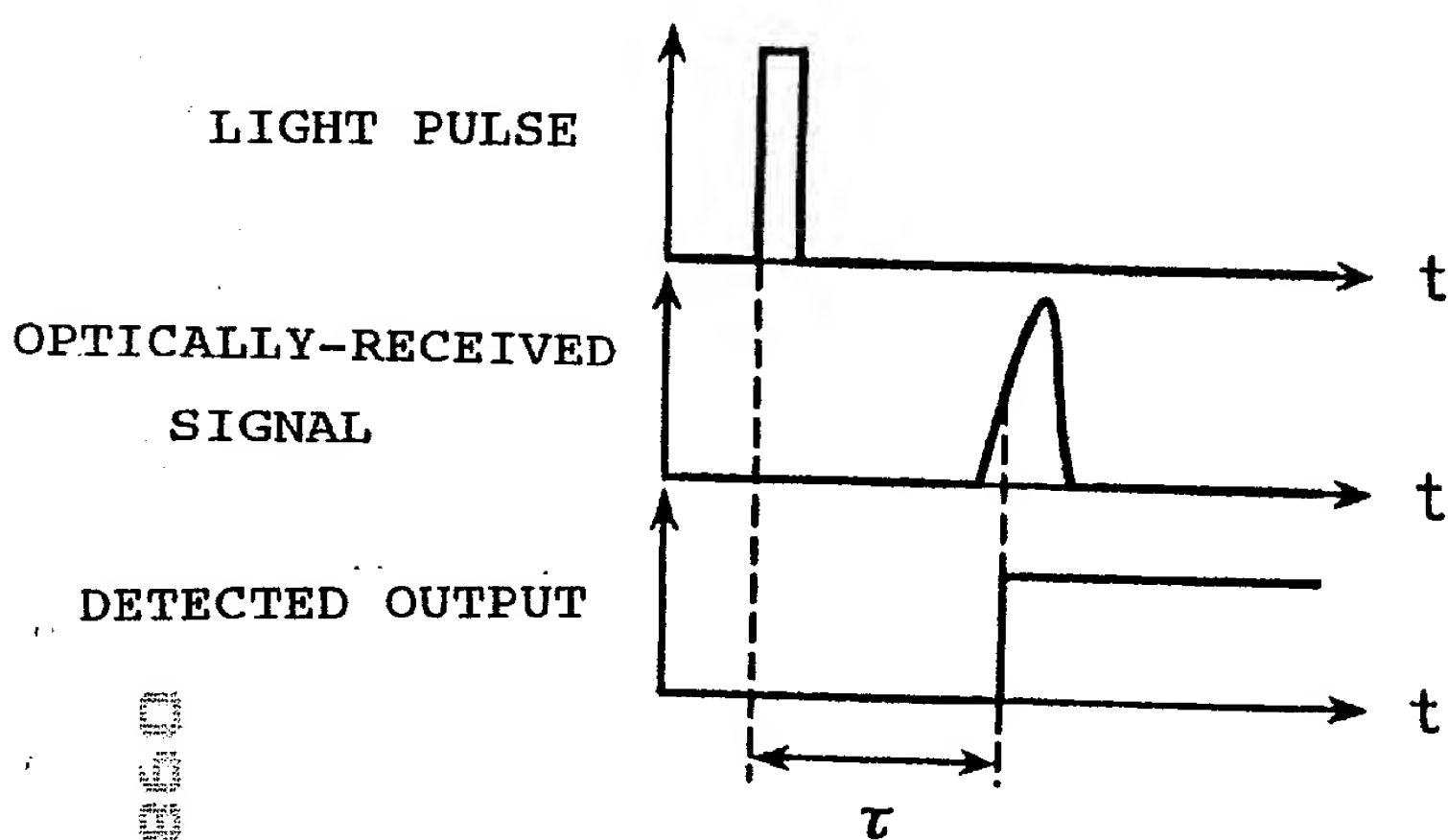


Fig. 9

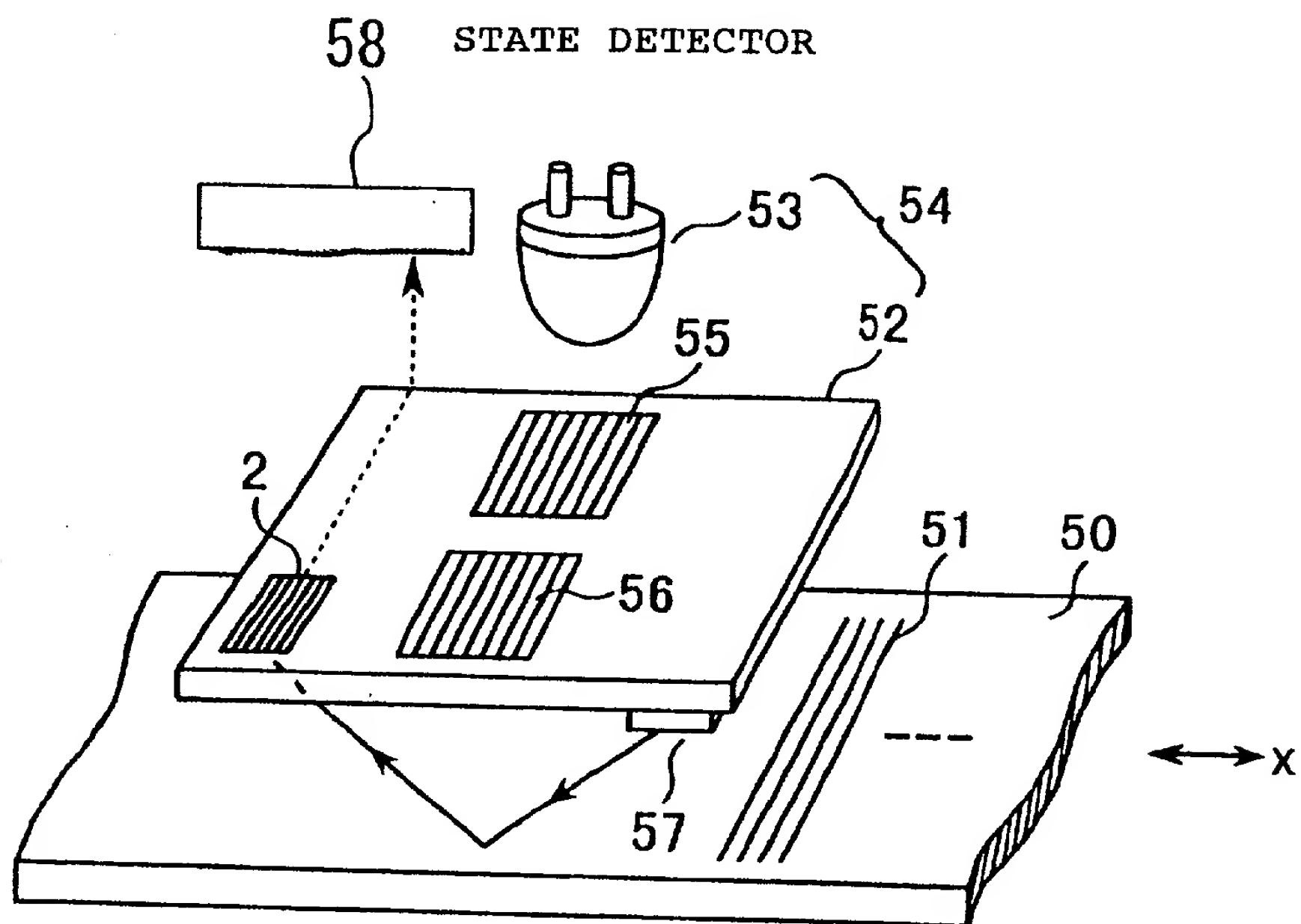


Fig. 10

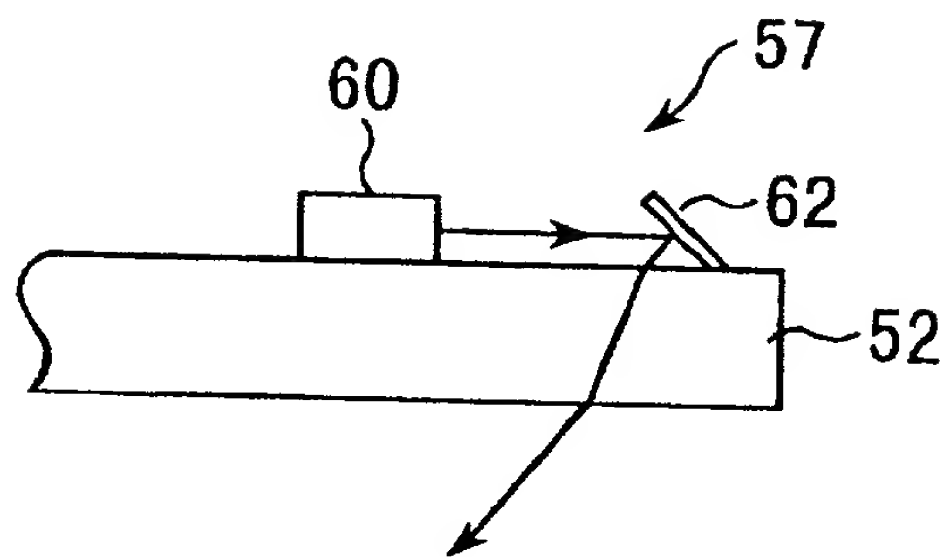


Fig. 11

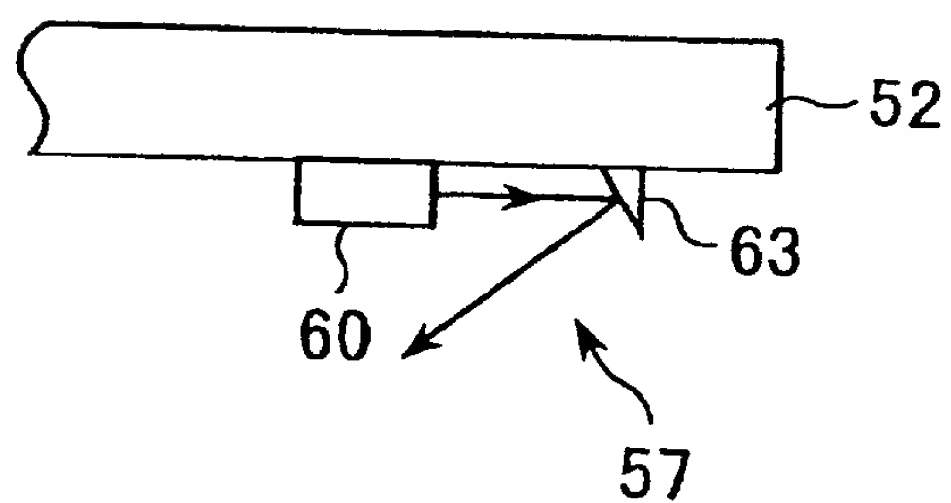


Fig. 12

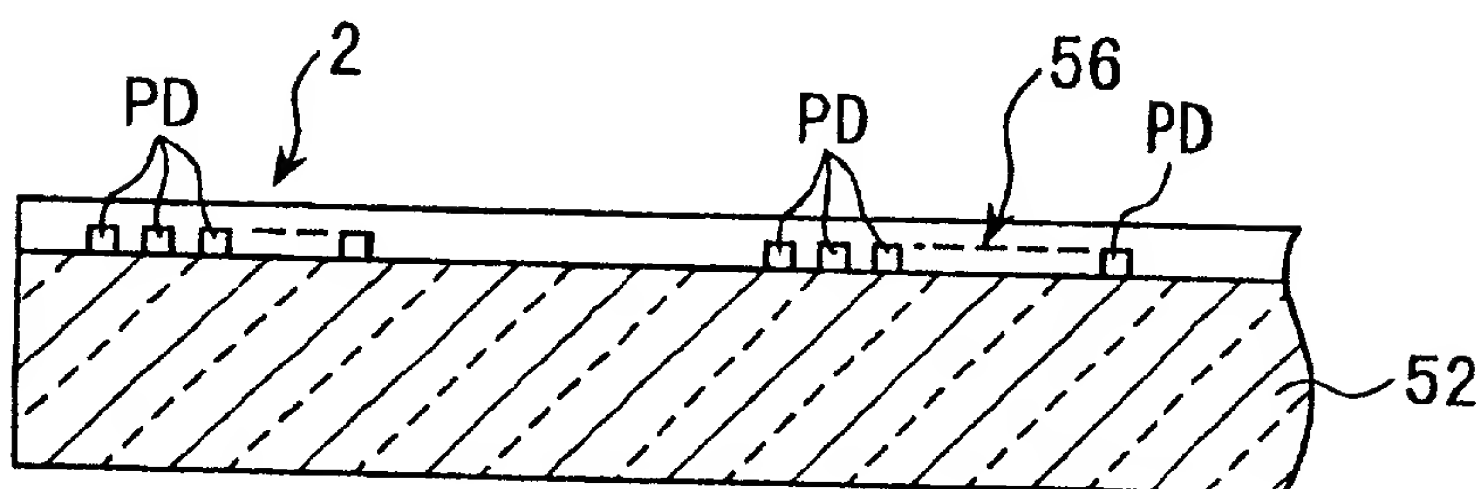




Fig. 13

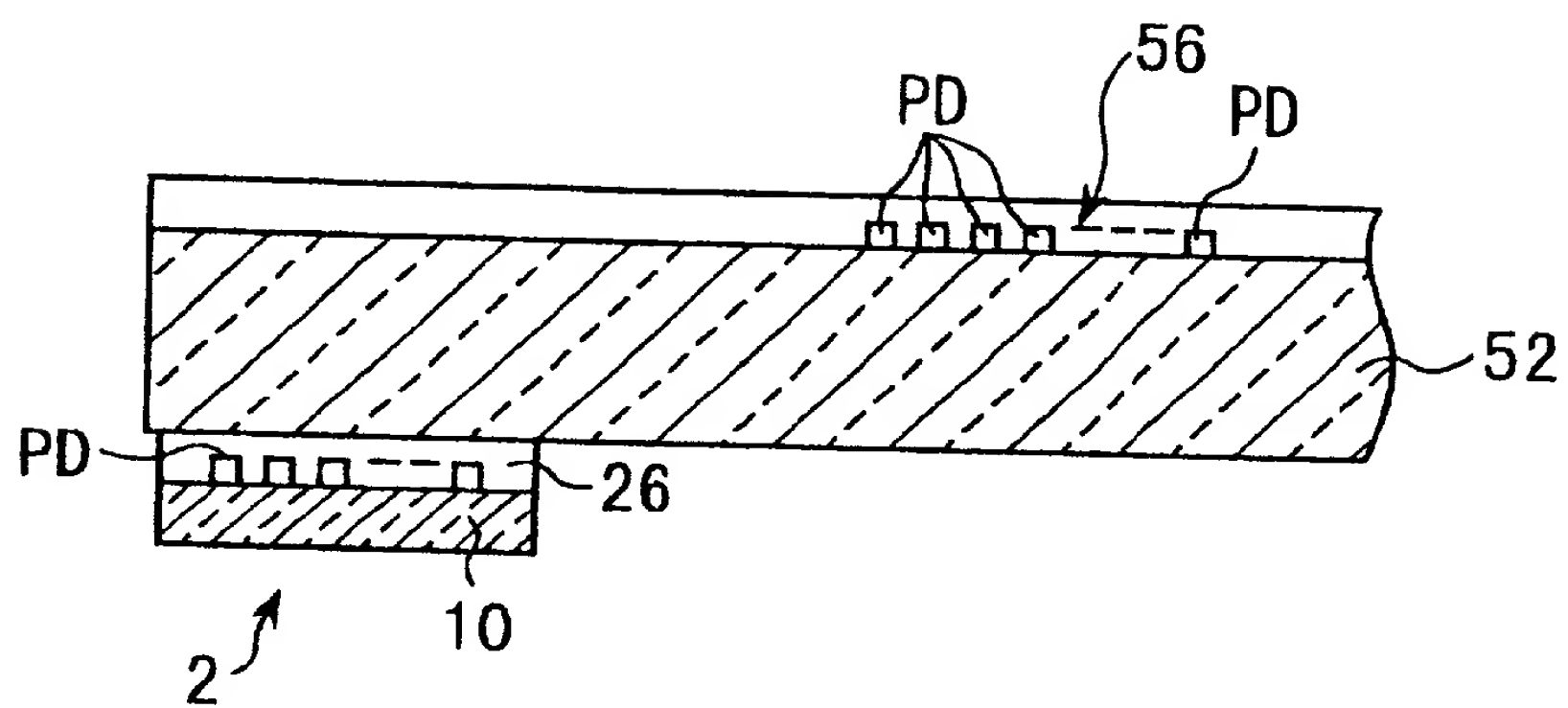


Fig. 14

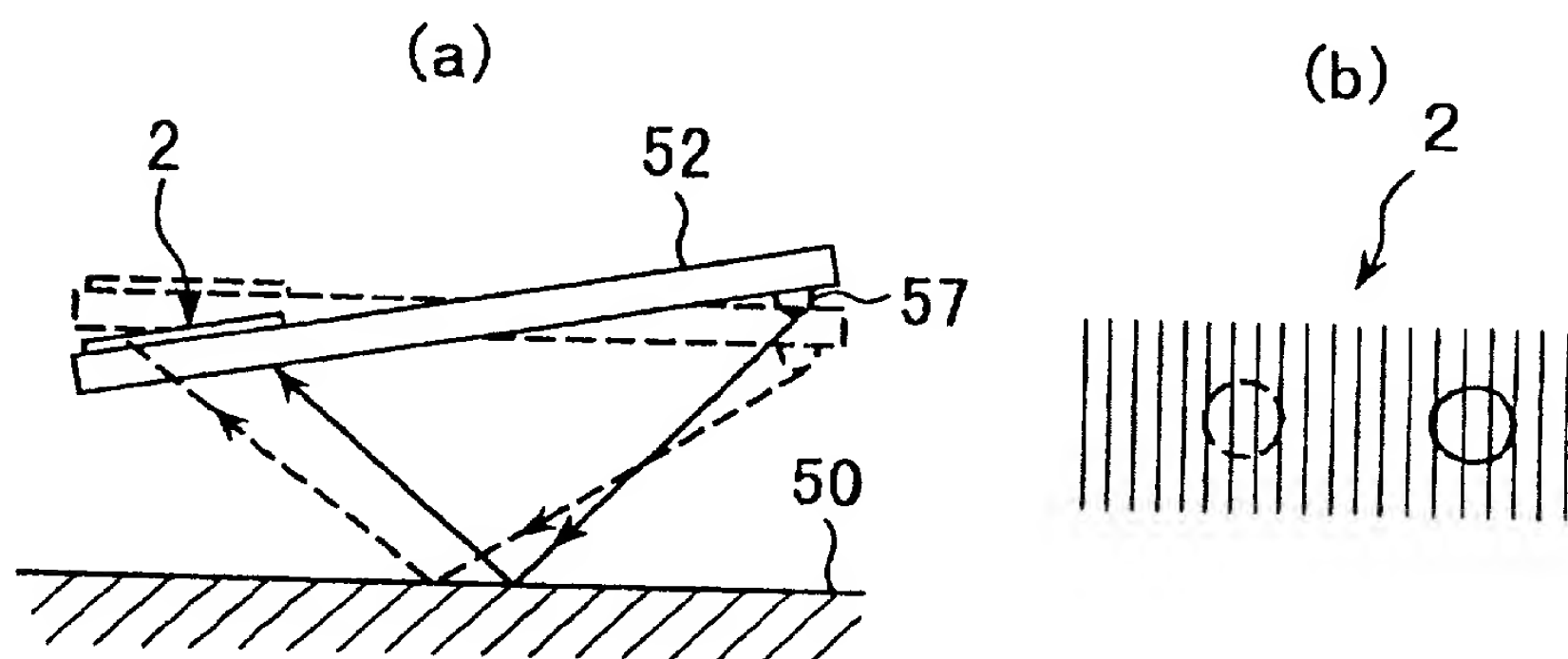


Fig. 15

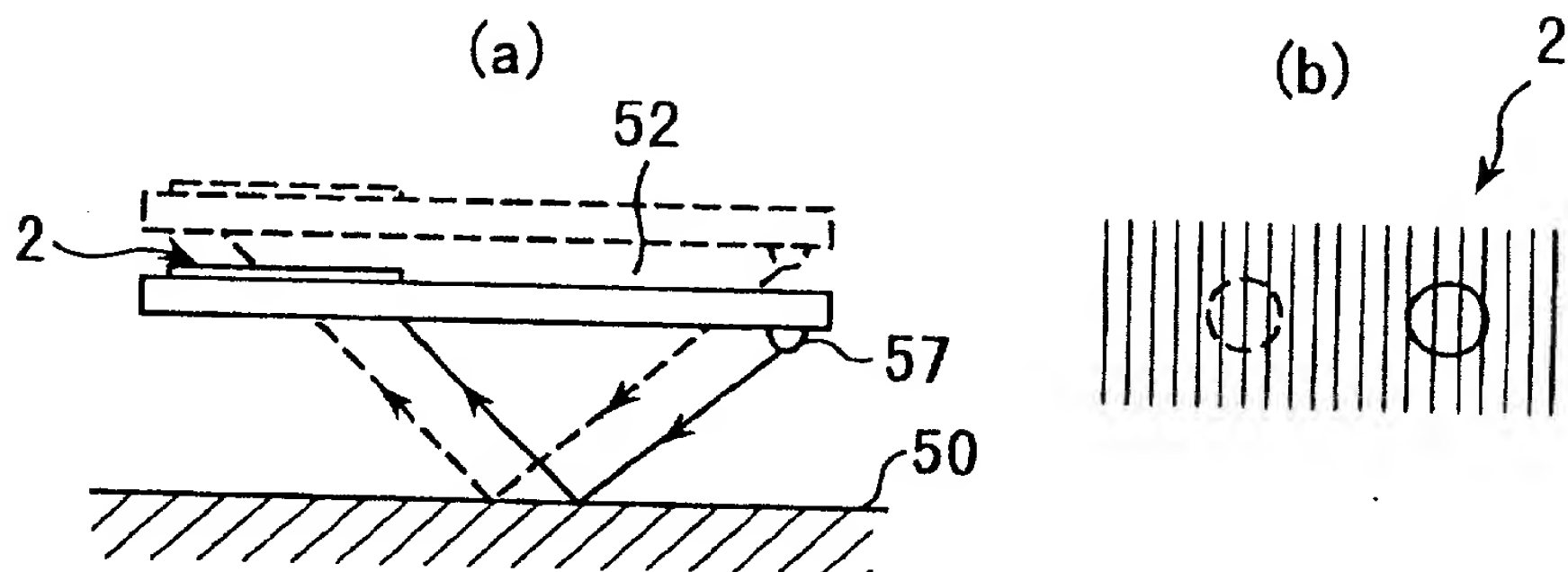


Fig. 16

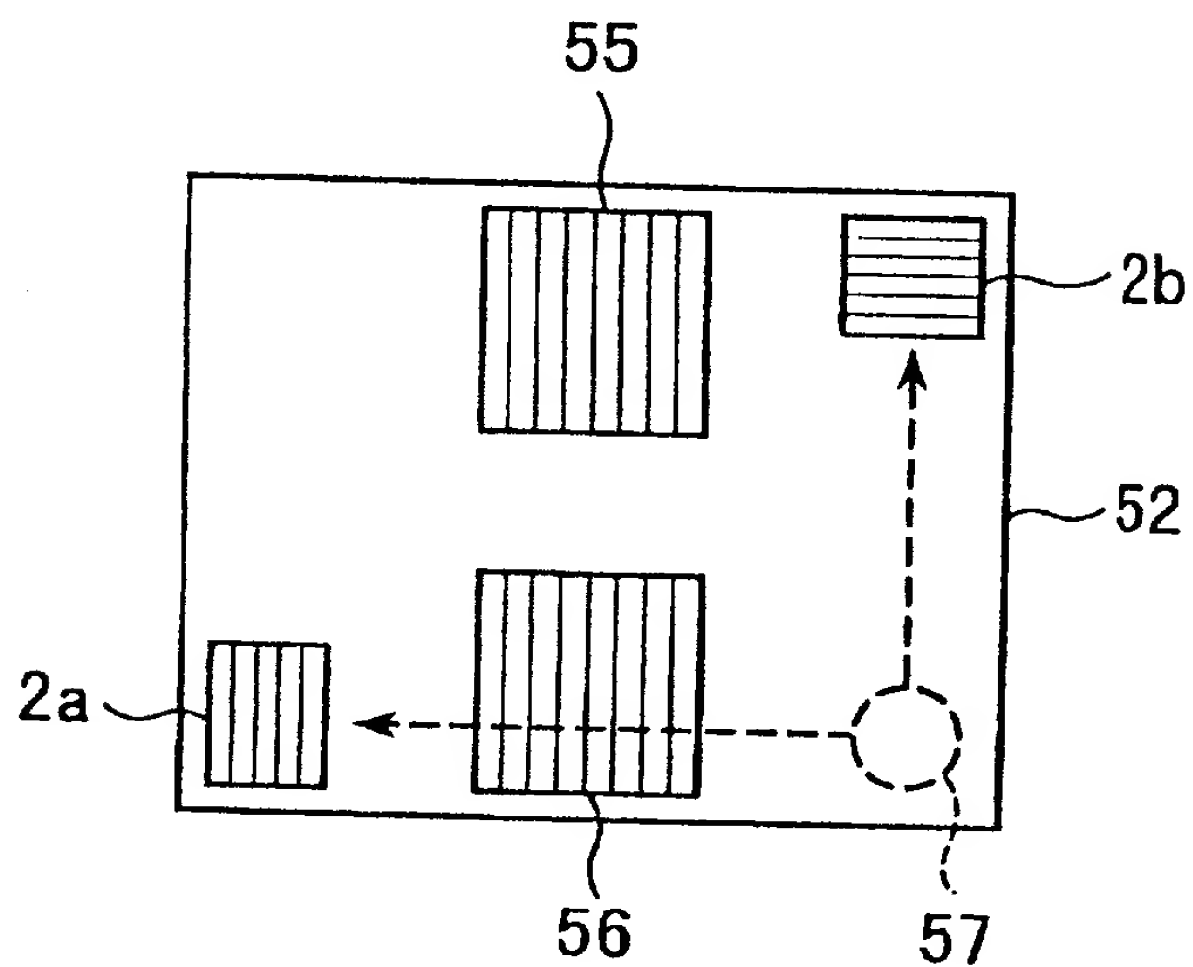


Fig. 17

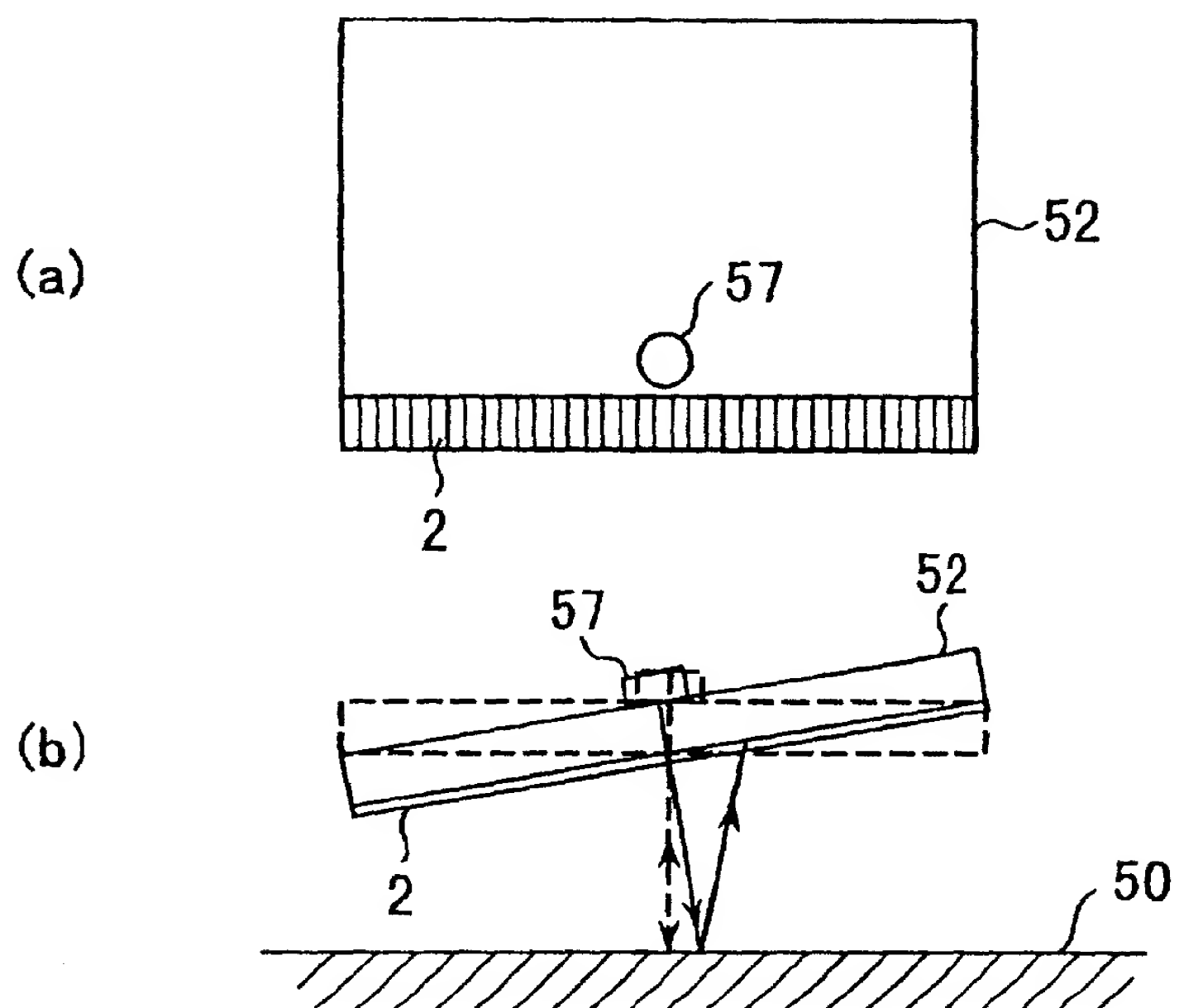


Fig. 18

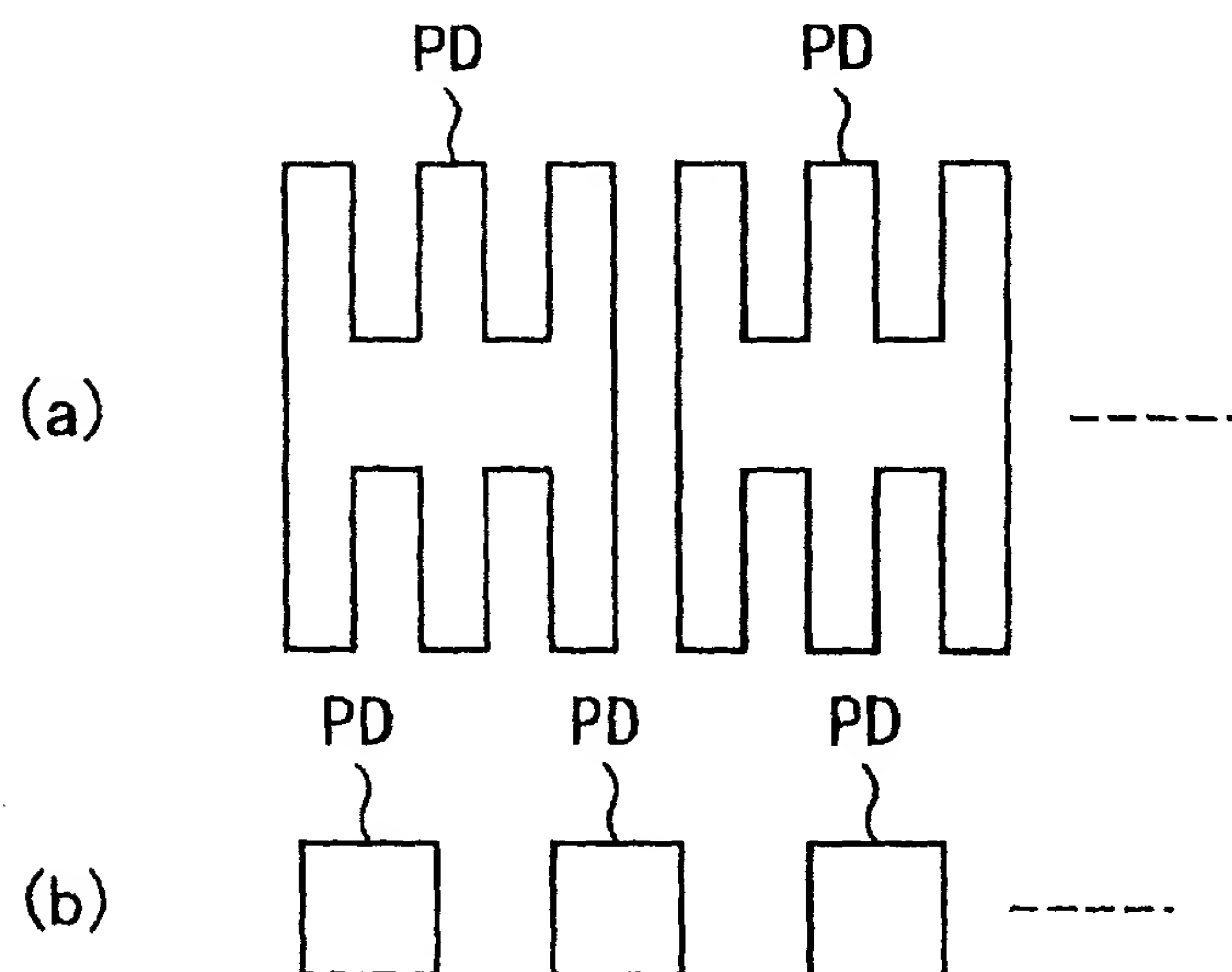
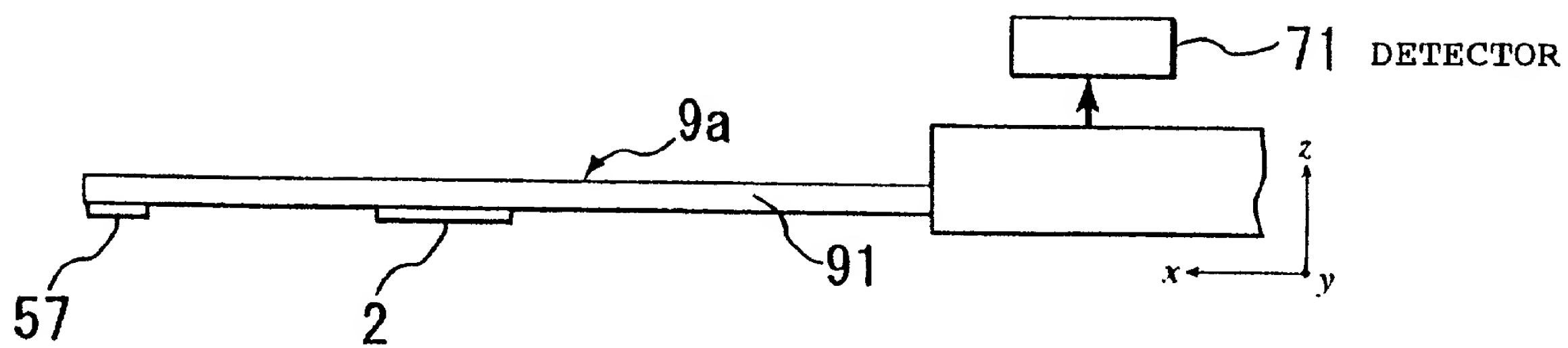
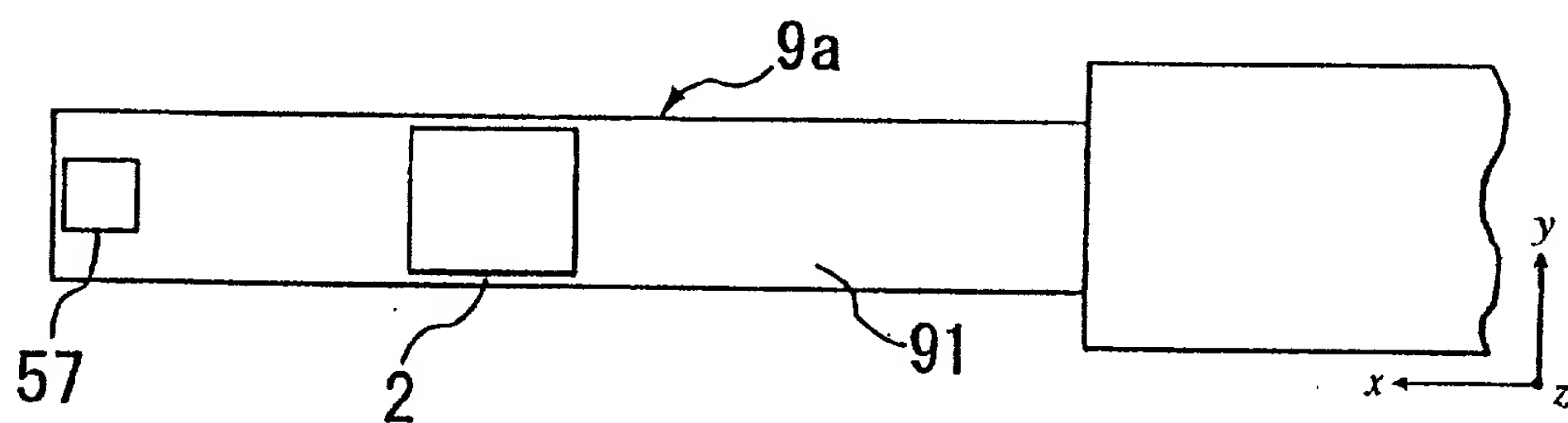


Fig. 19



(a)



(b)

Downloaded from www.worldscientific.com

Fig. 20

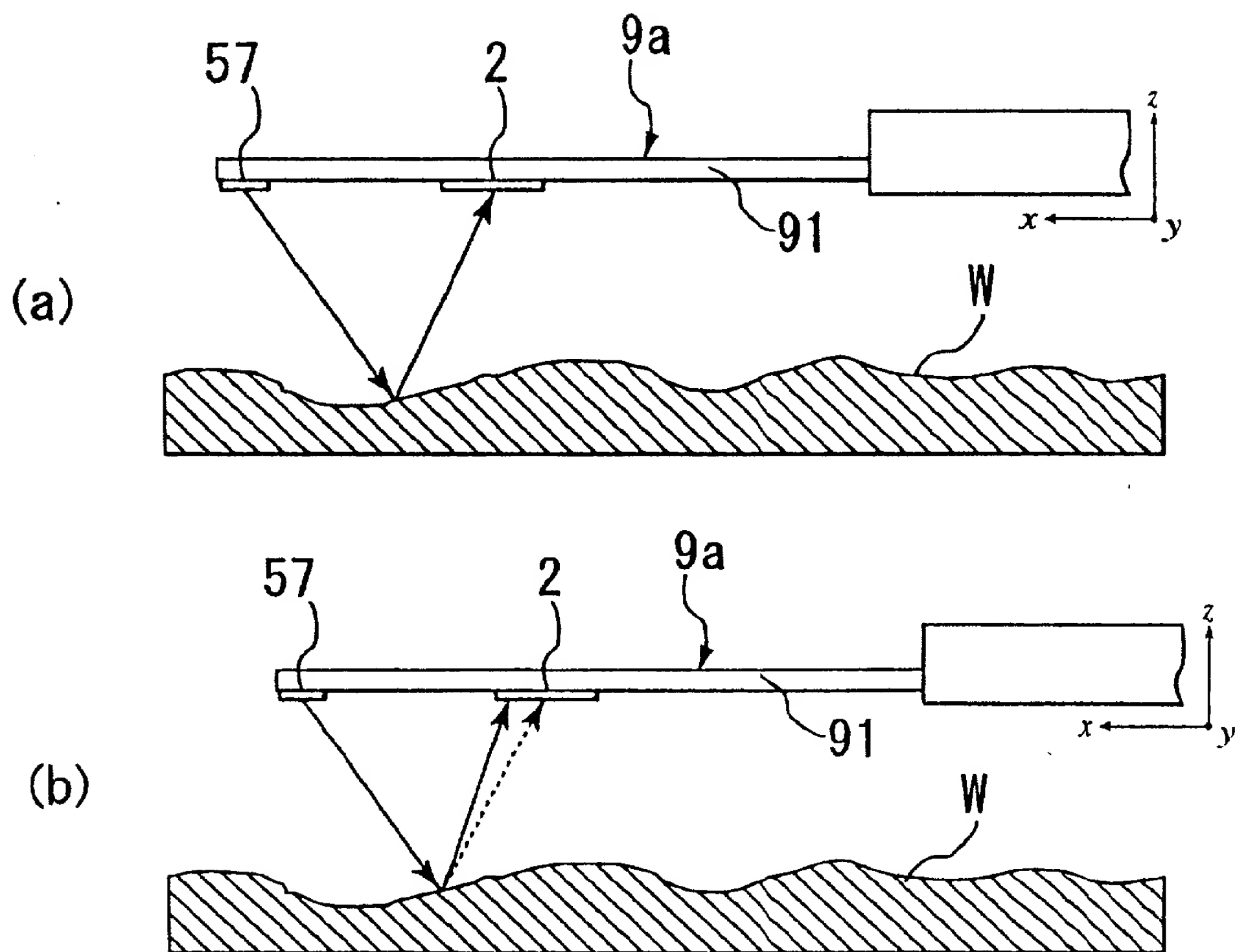


Fig. 21

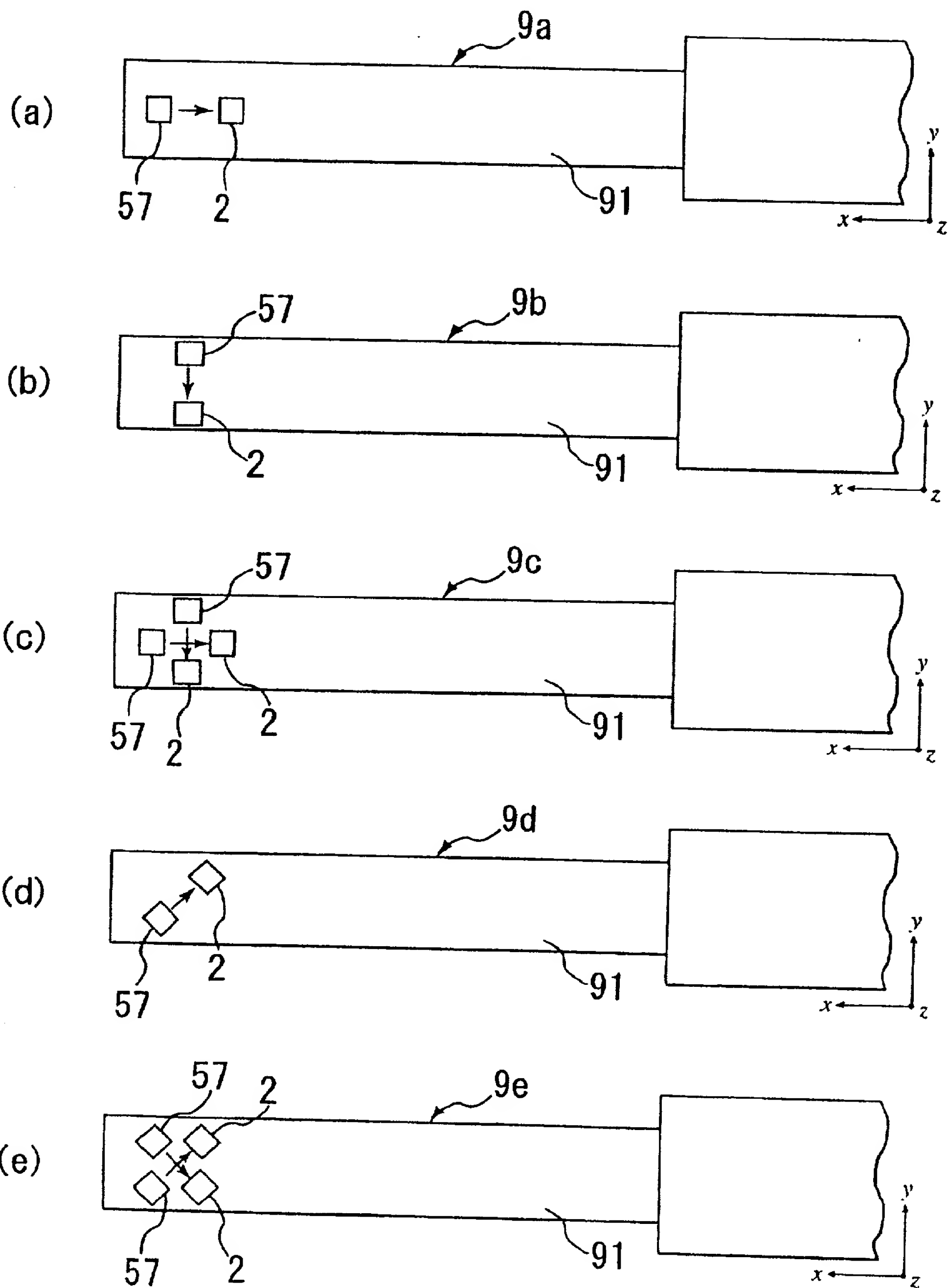


Fig. 22

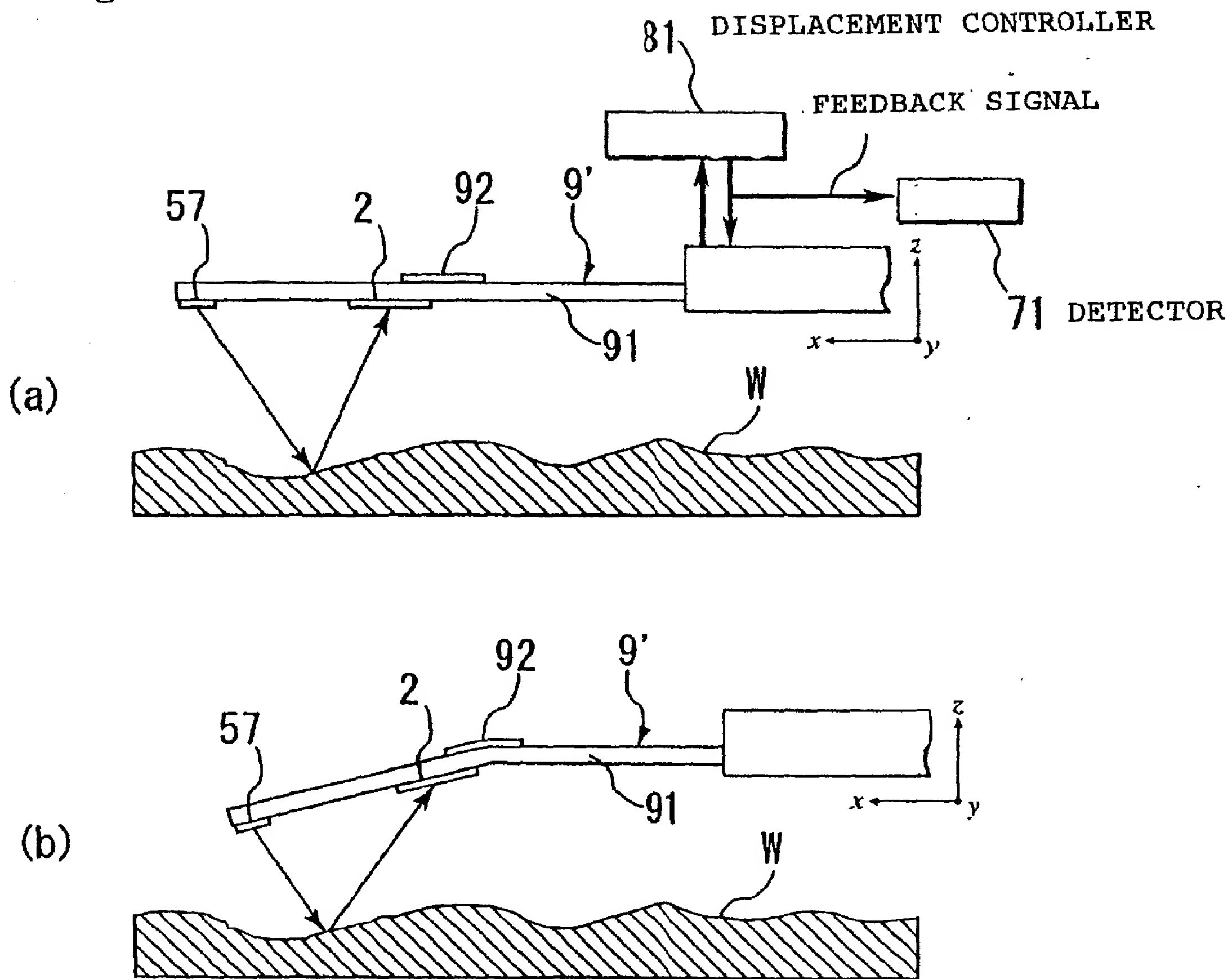
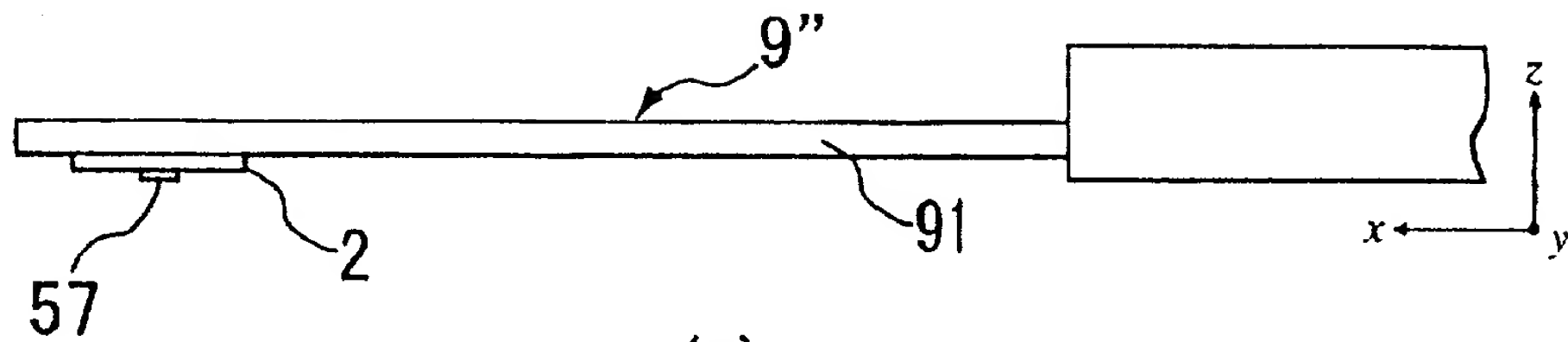
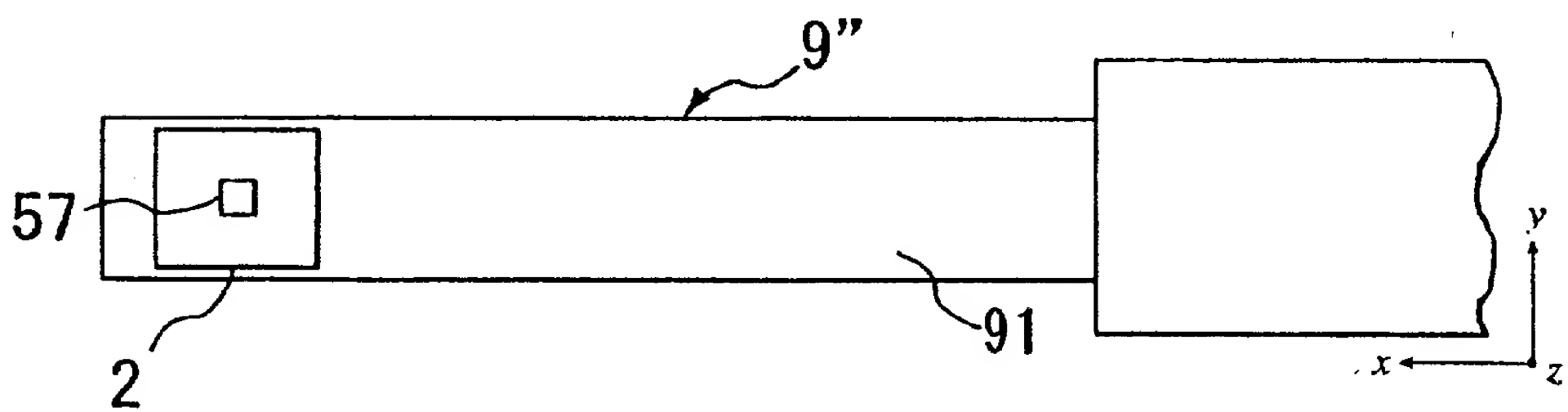


Fig. 23

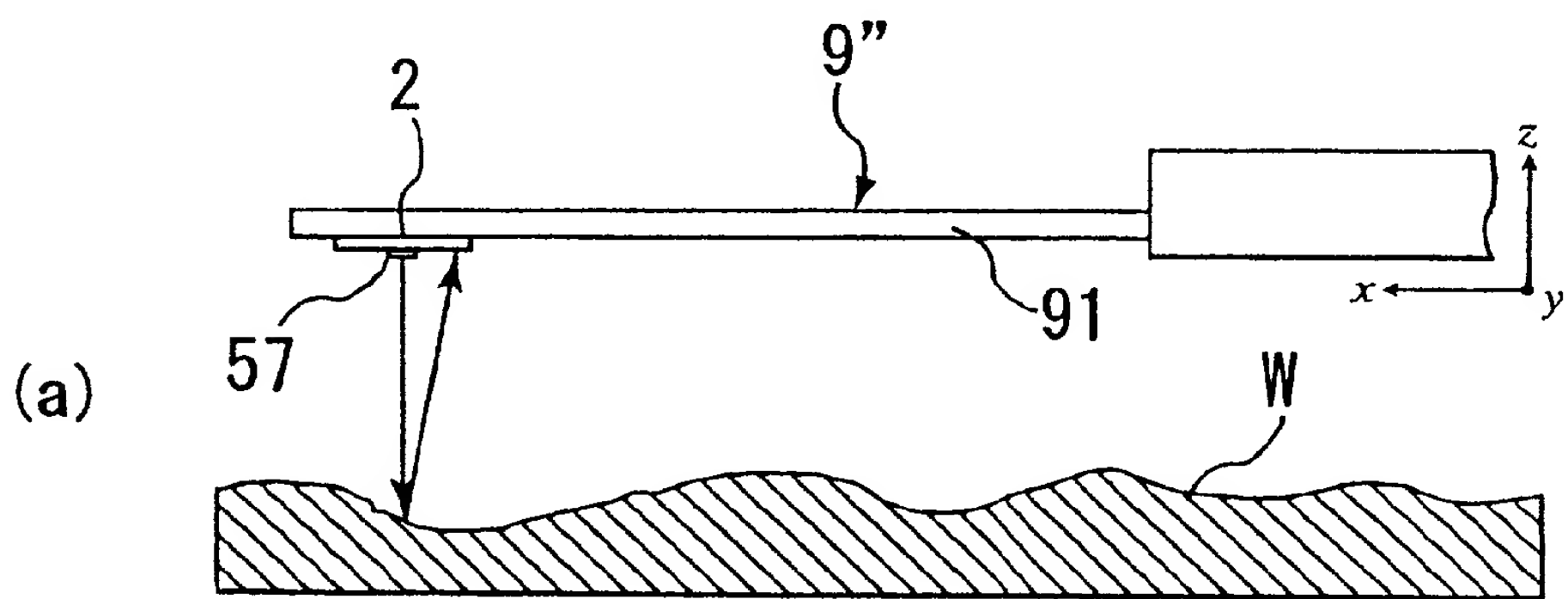


(a)

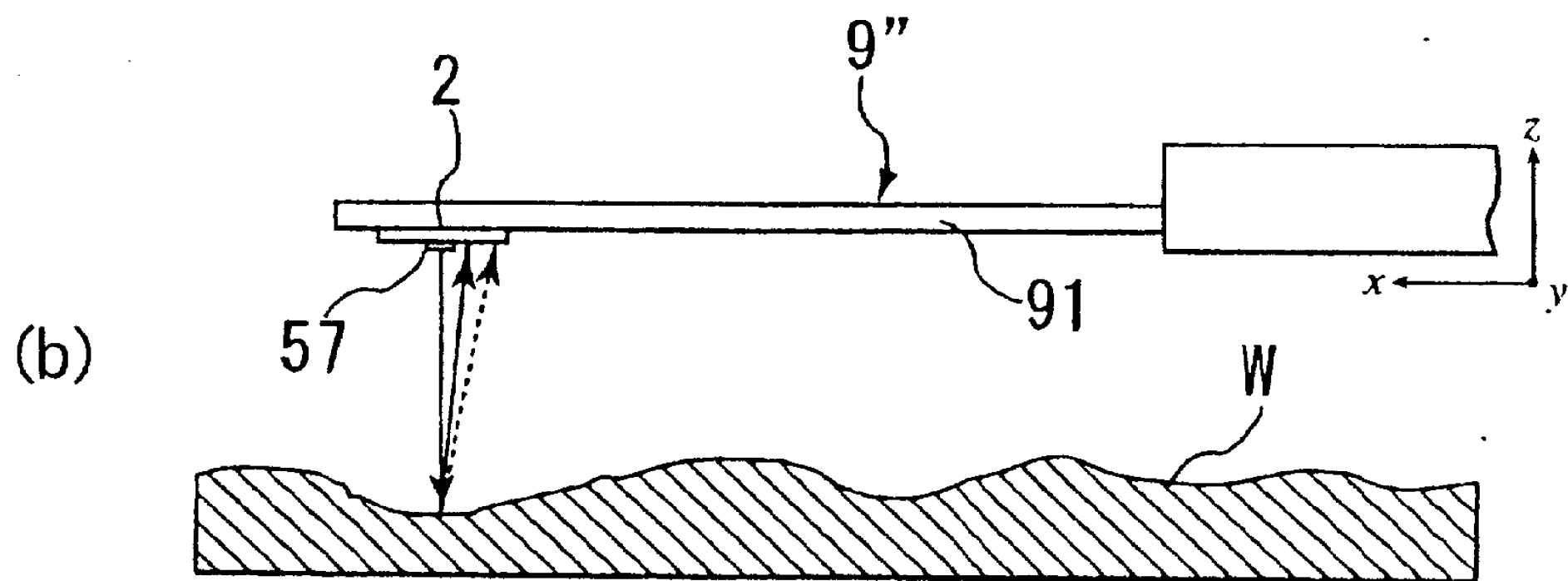


(b)

Fig. 24



(a)



(b)